

1/12

Fig. 1

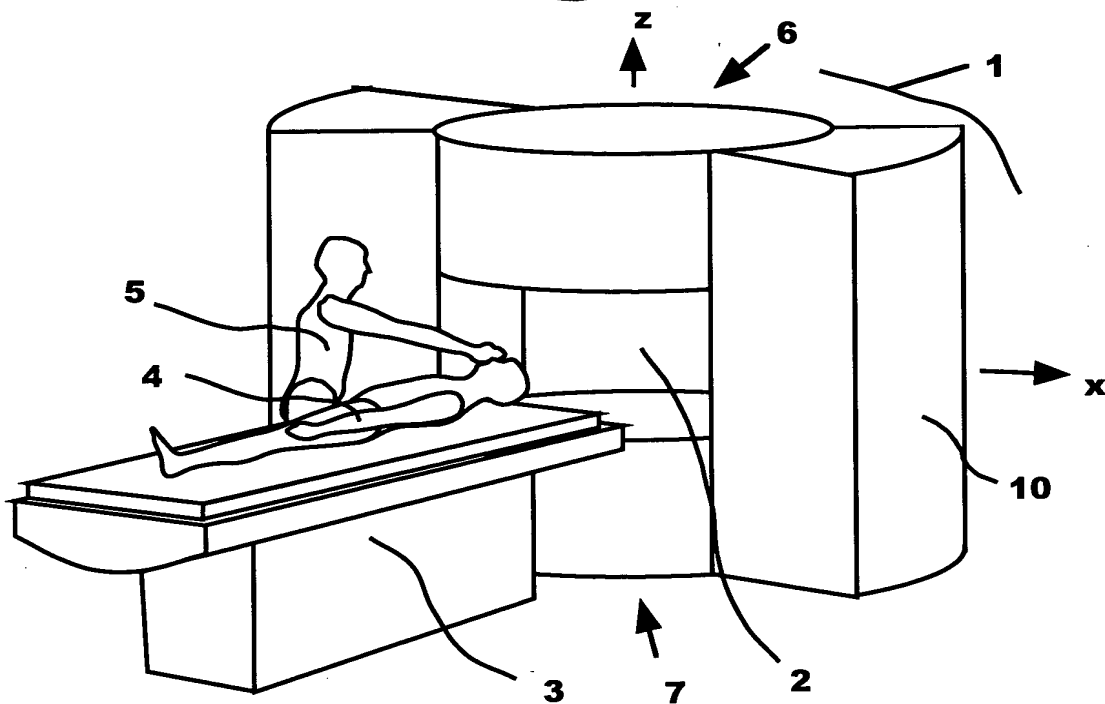
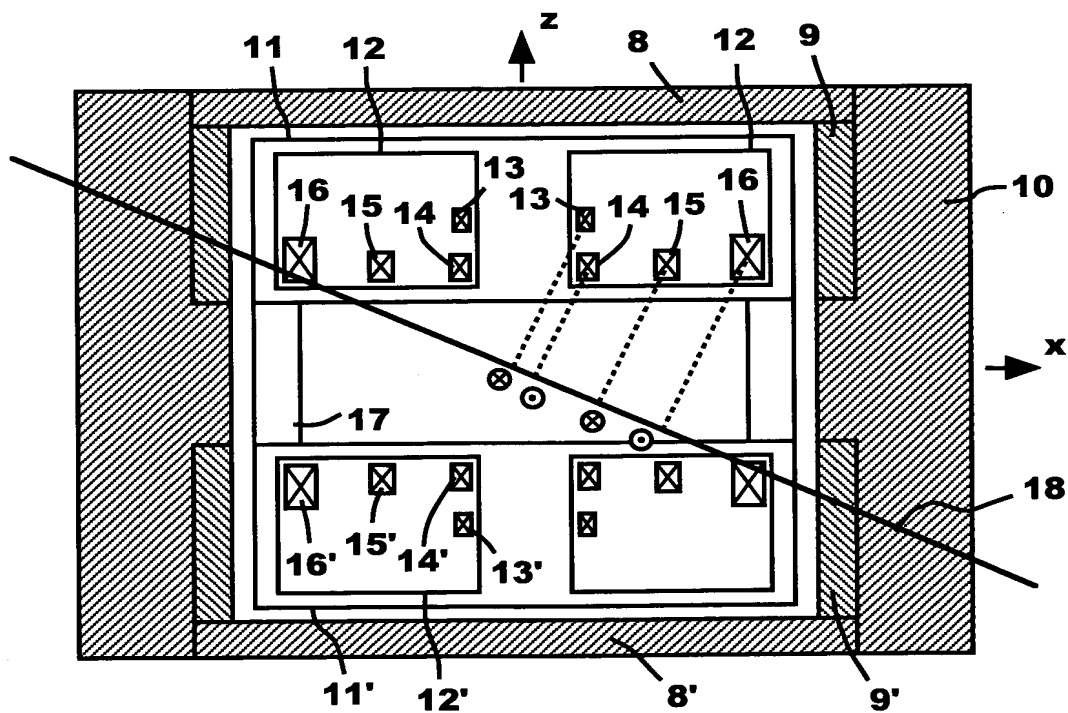


Fig. 2



2/12

Fig. 3

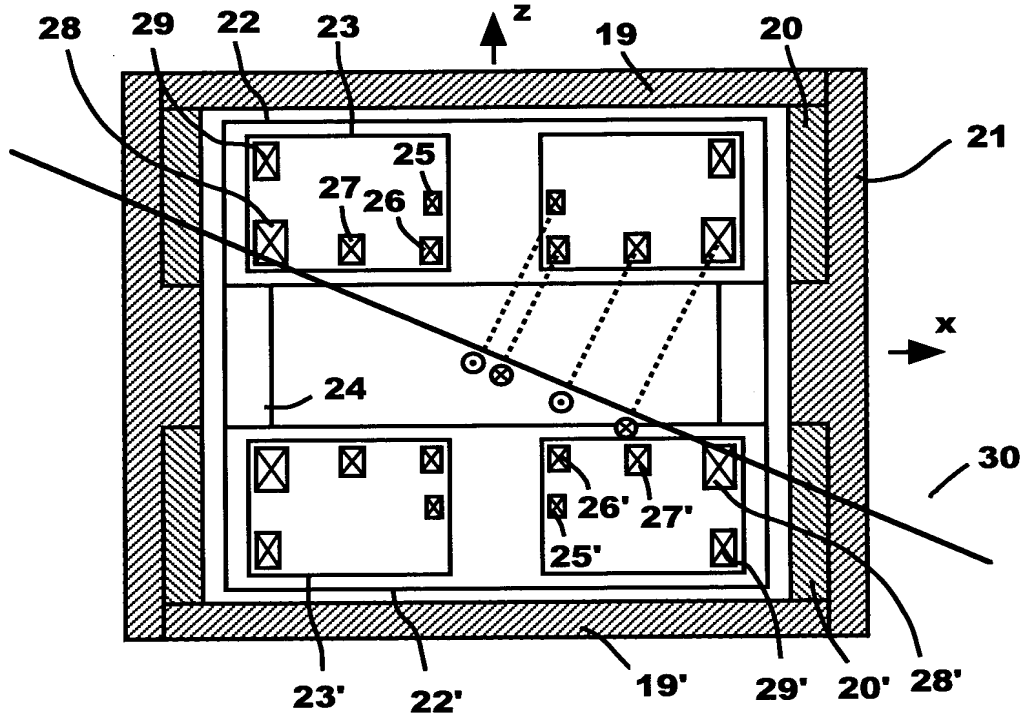
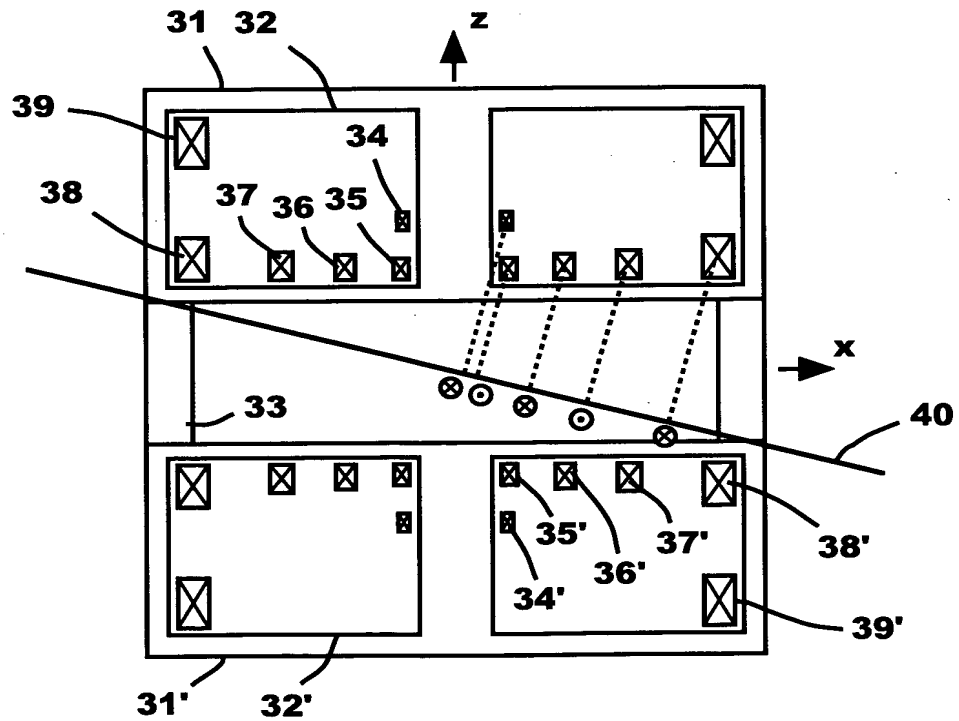
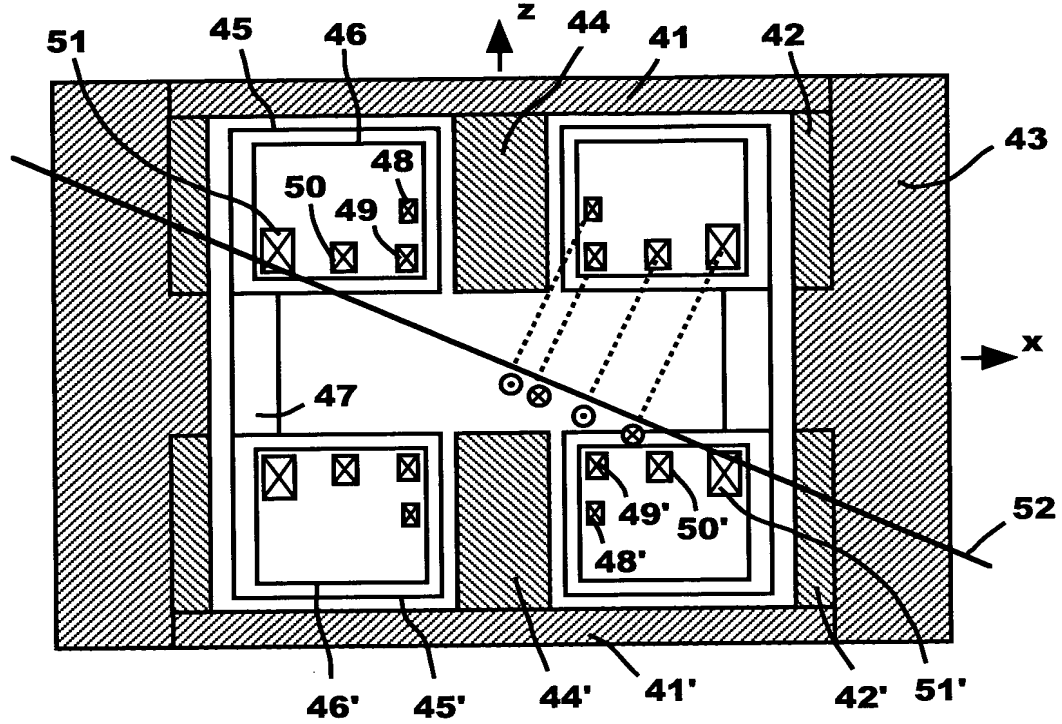
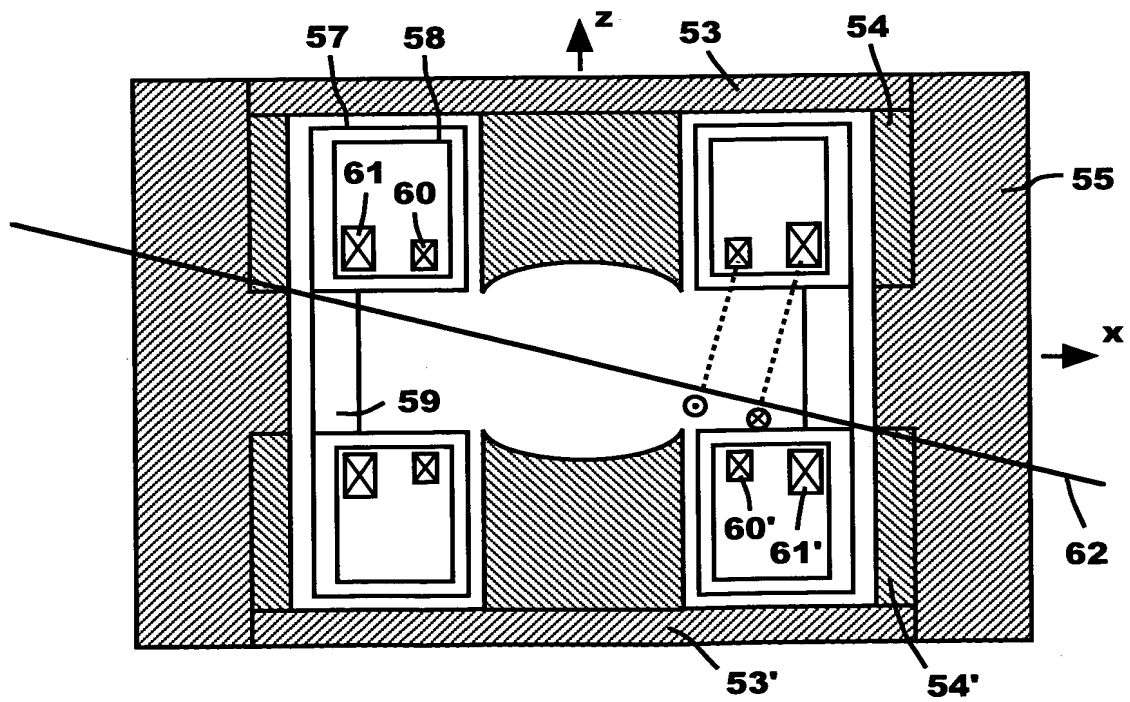


Fig. 4



3/12

Fig. 5**Fig. 6**

4/12

4/12

Fig. 7

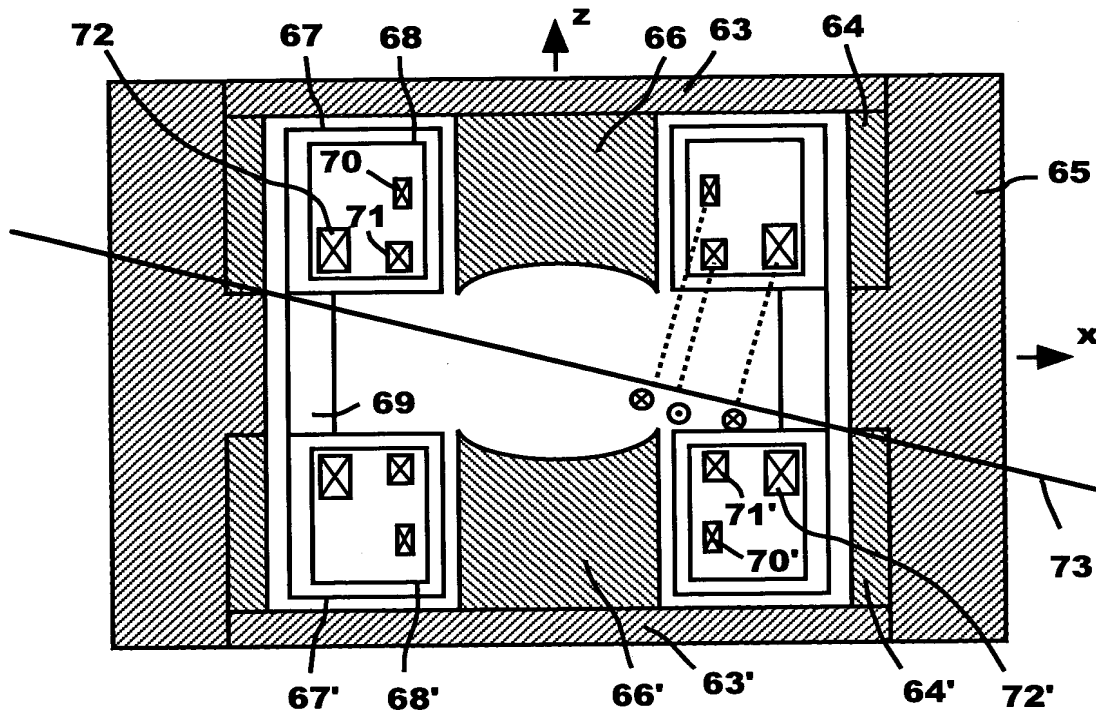
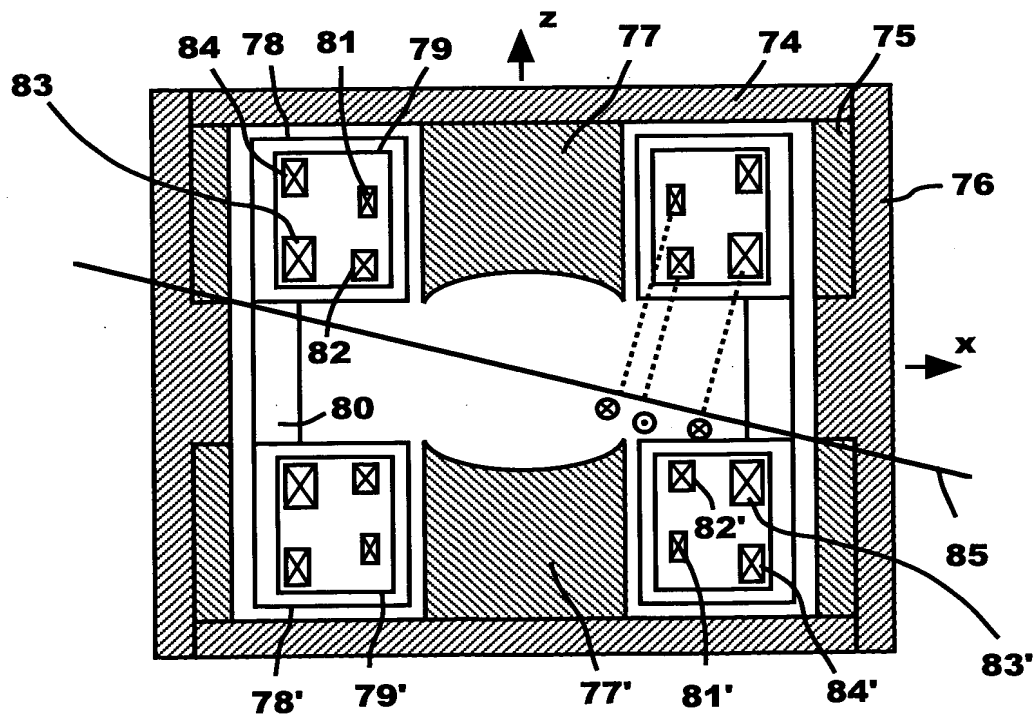
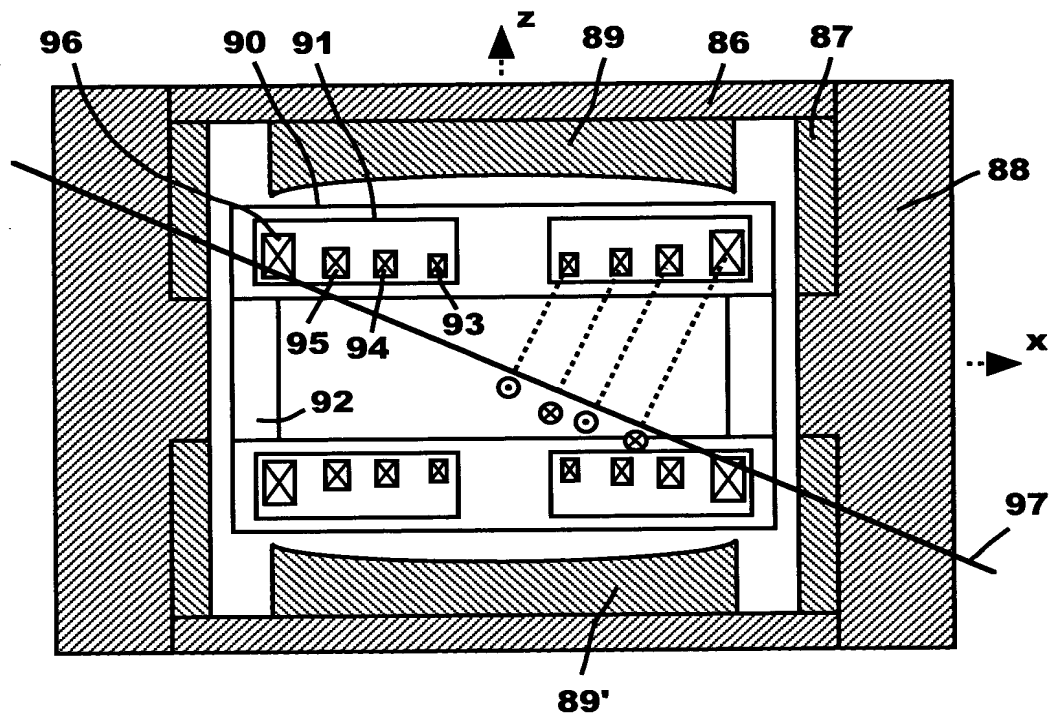
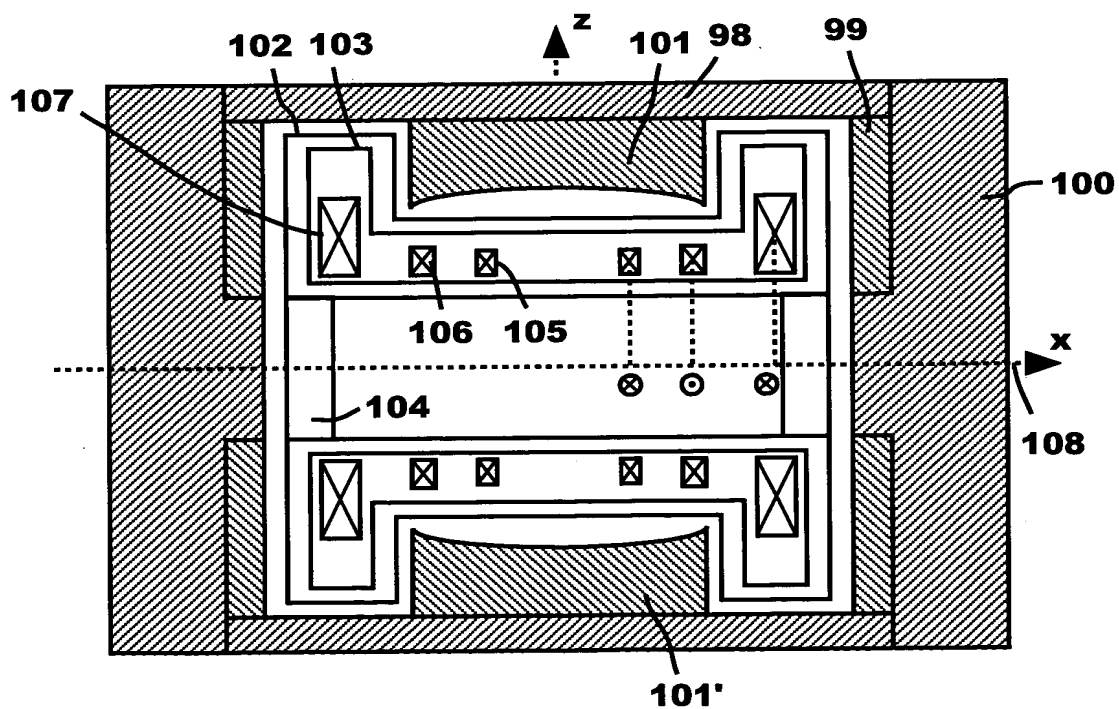


Fig. 8



5/12

Fig. 9**Fig. 10**

6/12

Fig. 11

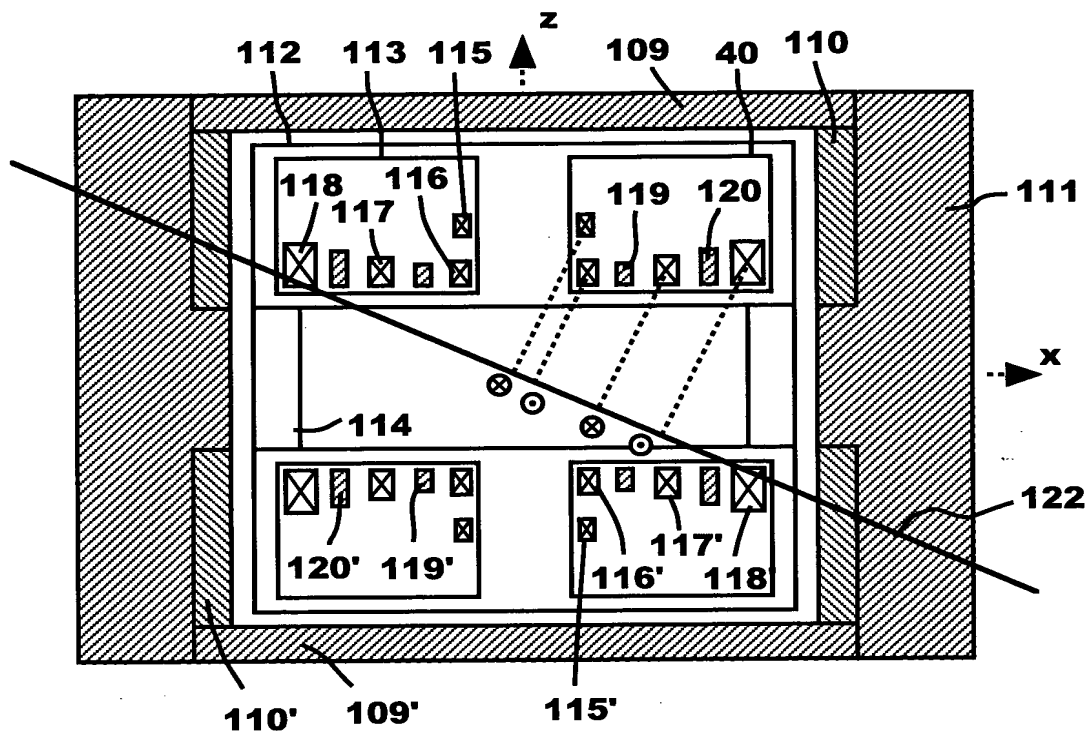
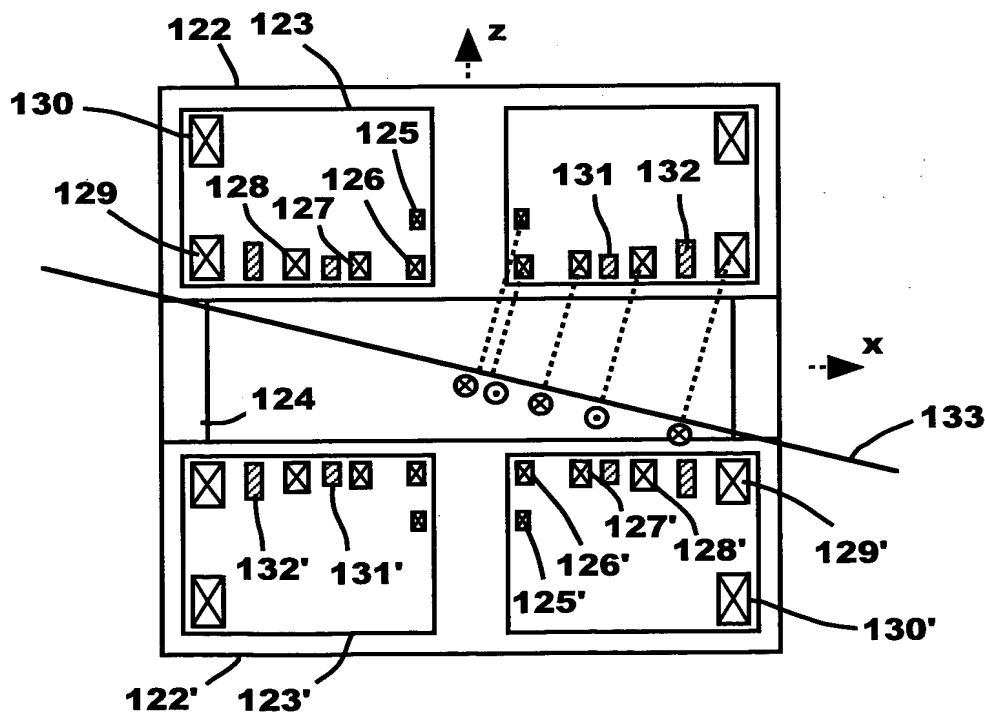
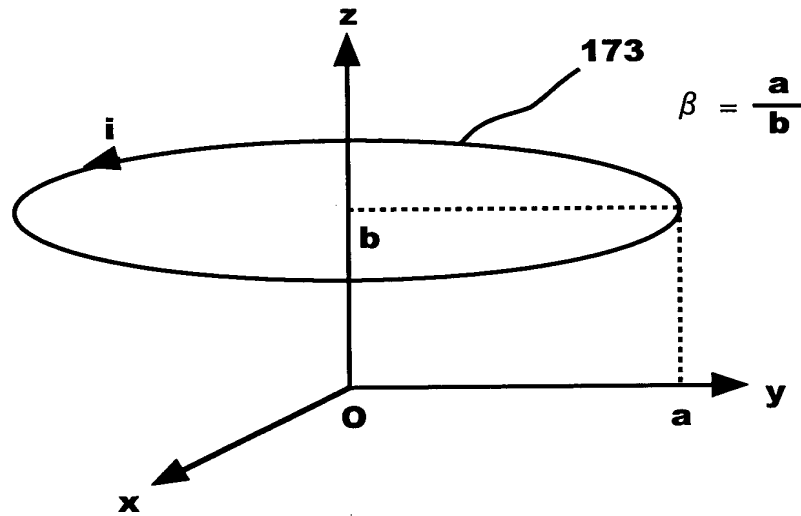
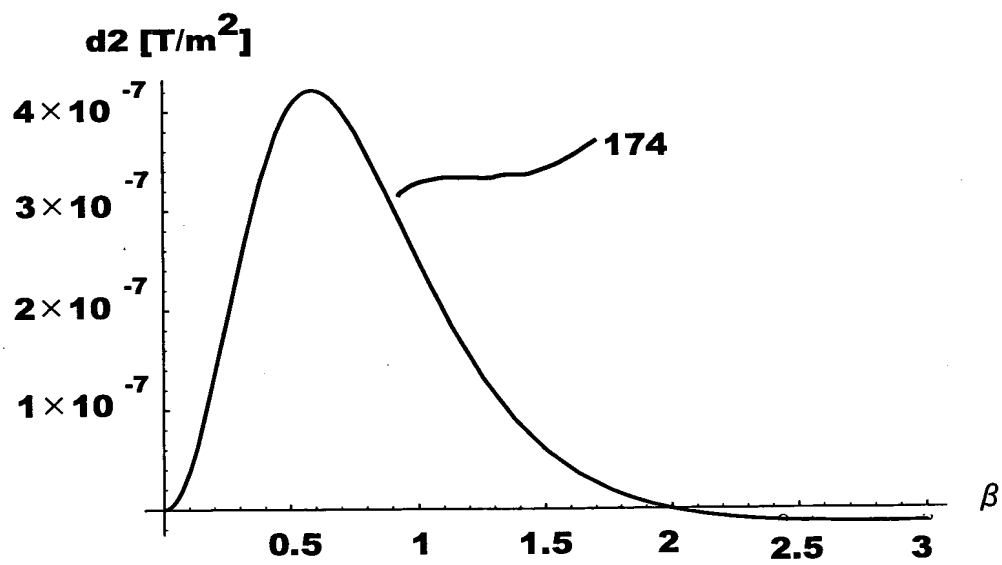


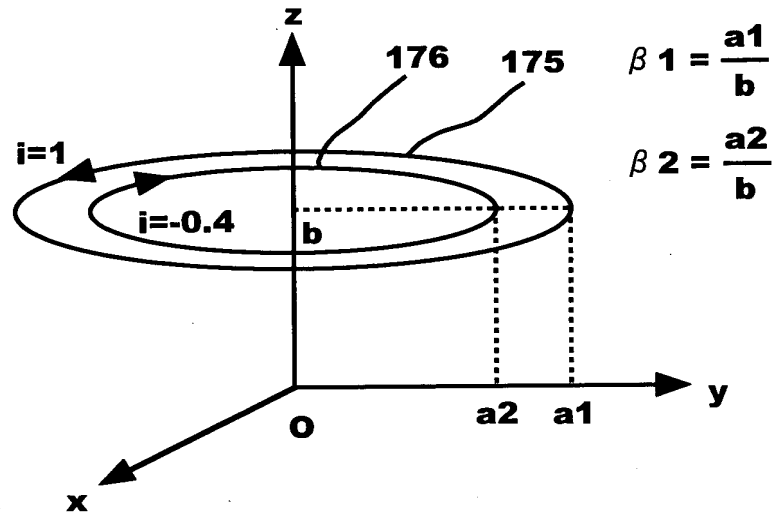
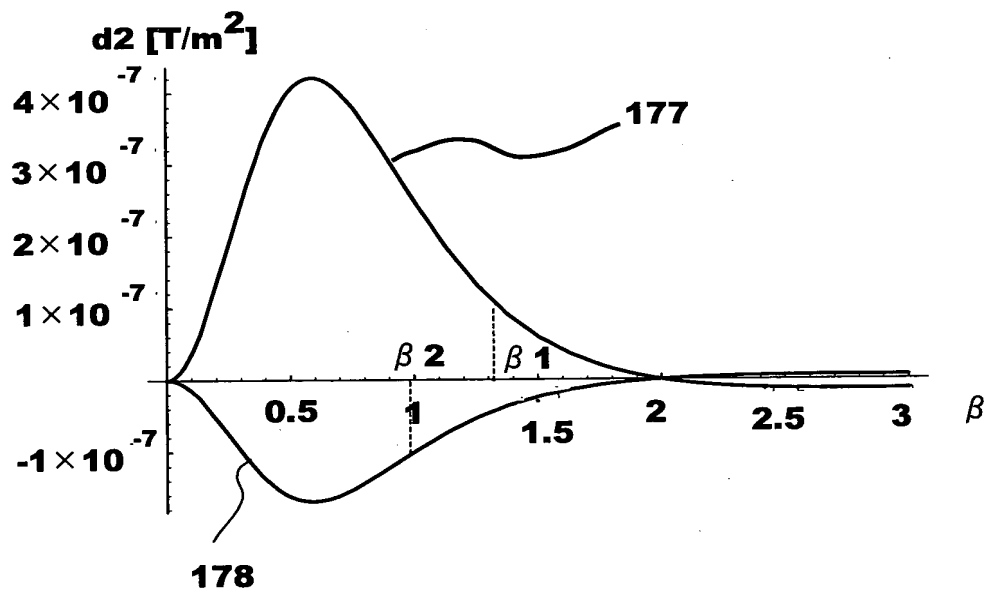
Fig. 12



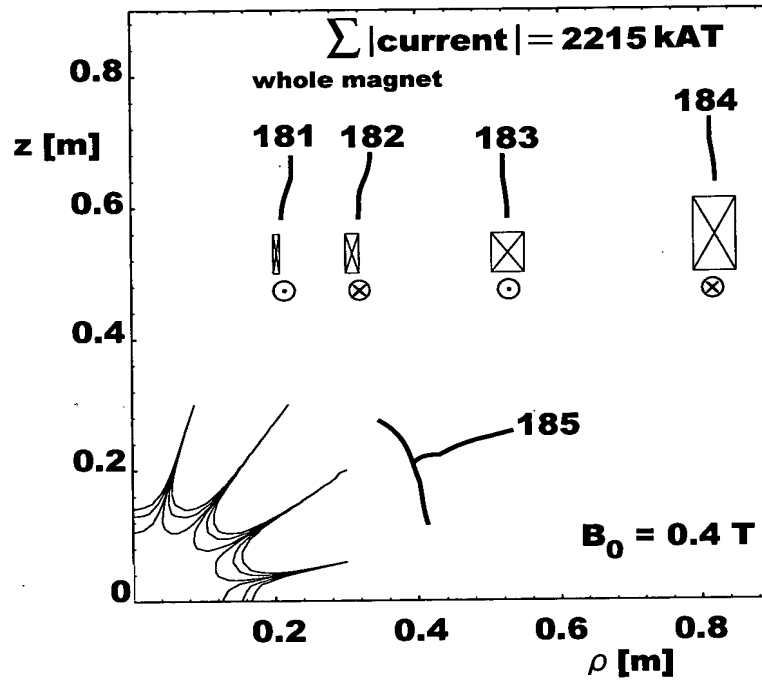
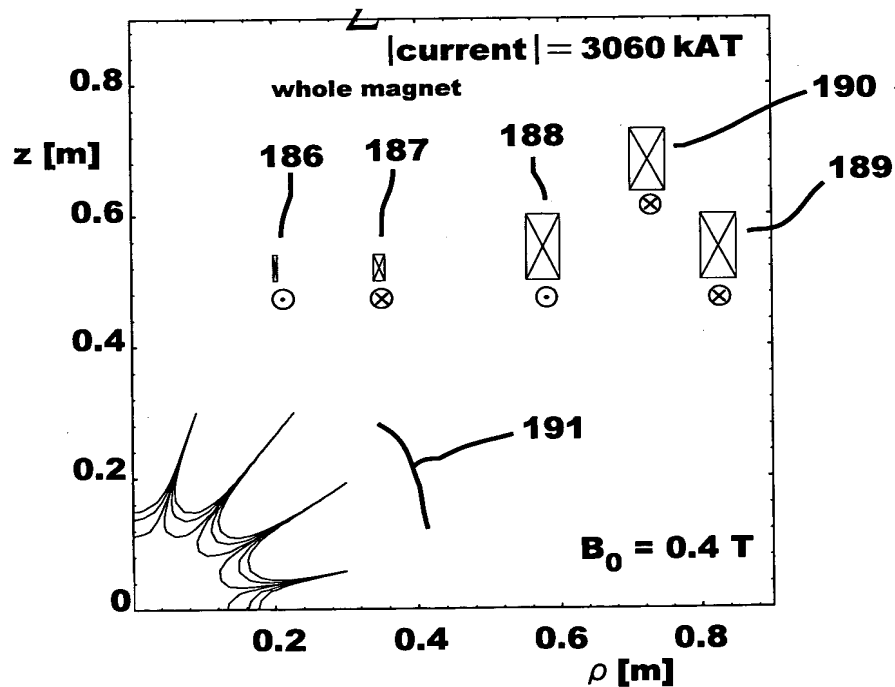
7/12

Fig. 13**Fig. 14**

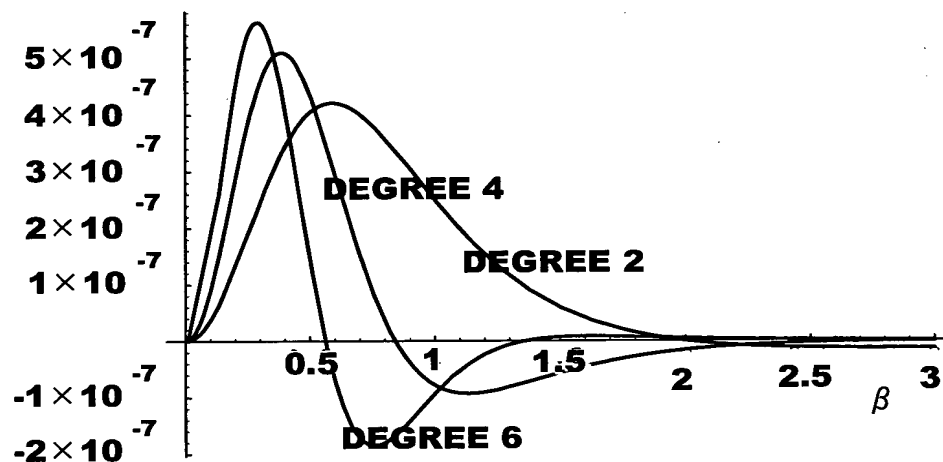
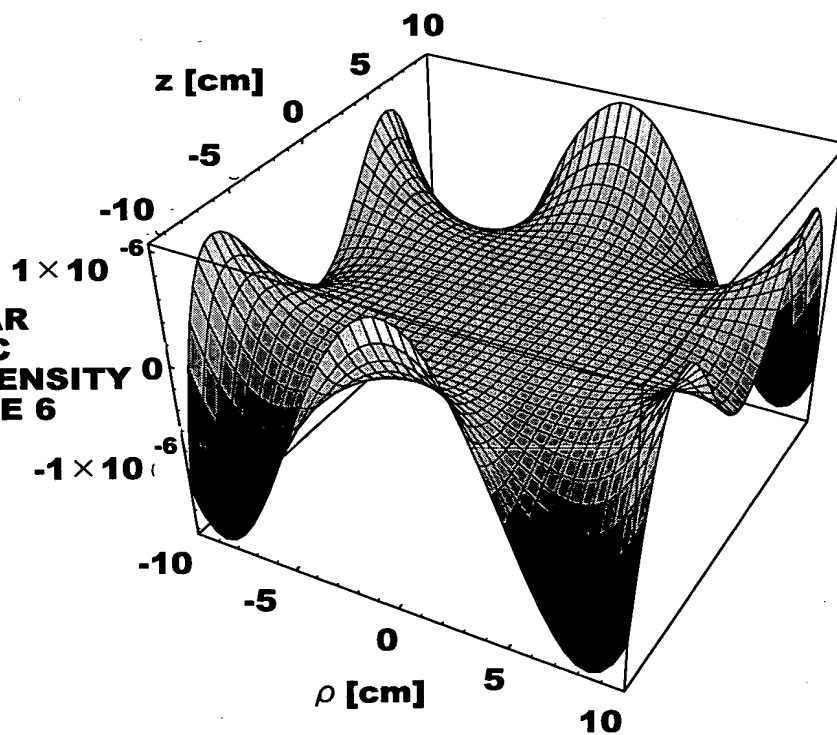
8/12

Fig. 15**Fig. 16**

9/12

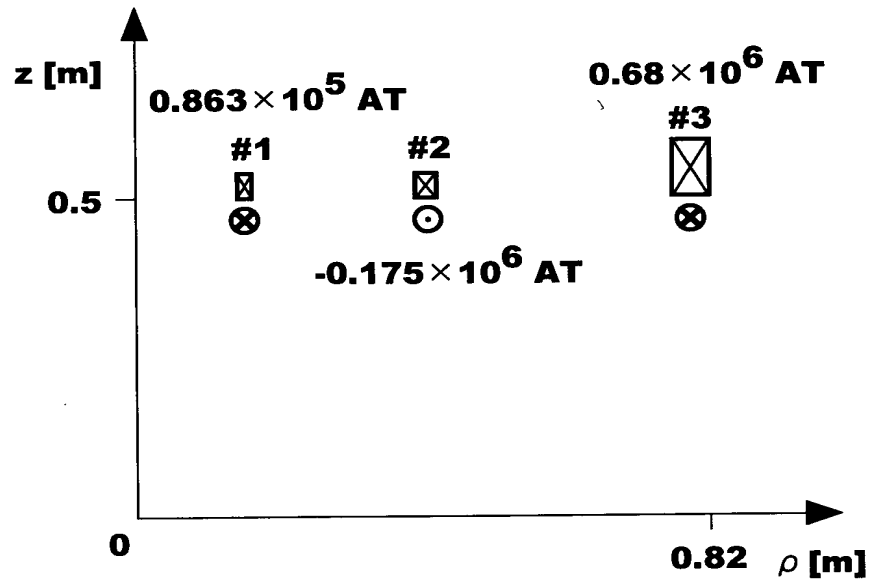
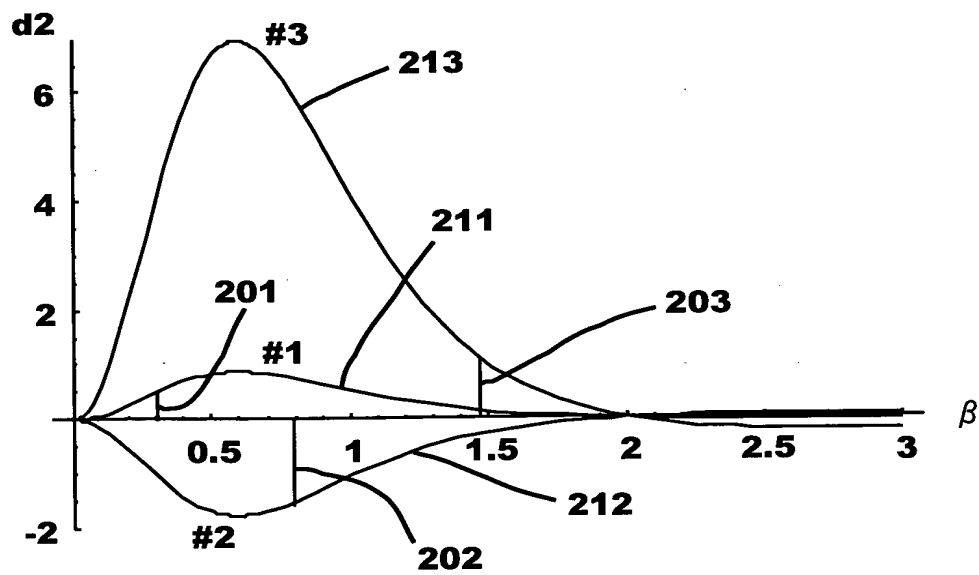
Fig. 17**Fig. 18**

10/12

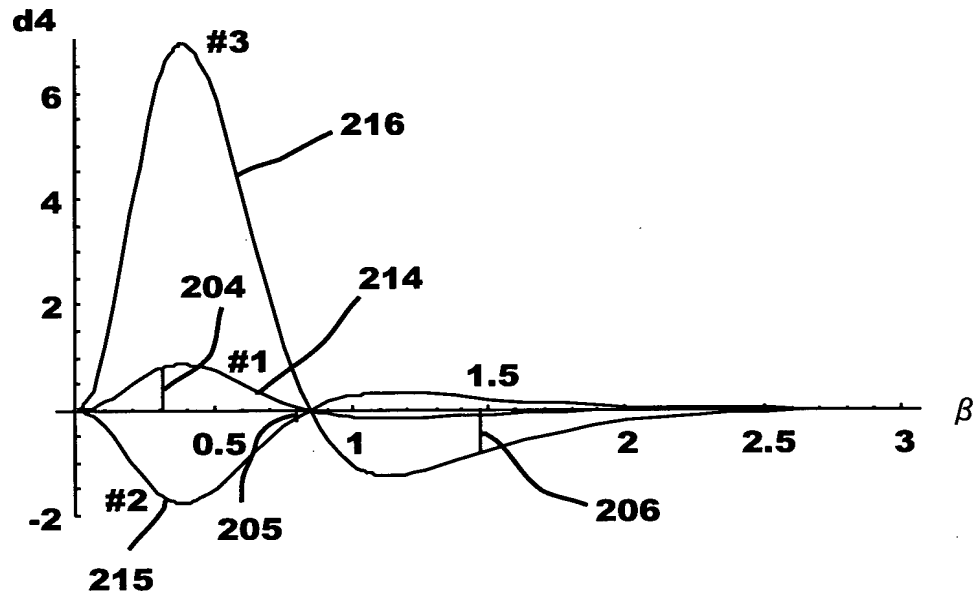
Fig. 19**IRREGULAR MAGNETIC
FIELD INTENSITY****Fig. 20****IRREGULAR
MAGNETIC
FIELD INTENSITY
OF DEGREE 6**

002280 547550

11/12

Fig. 21**Fig. 22**

12/12

Fig. 23

002230-55415500